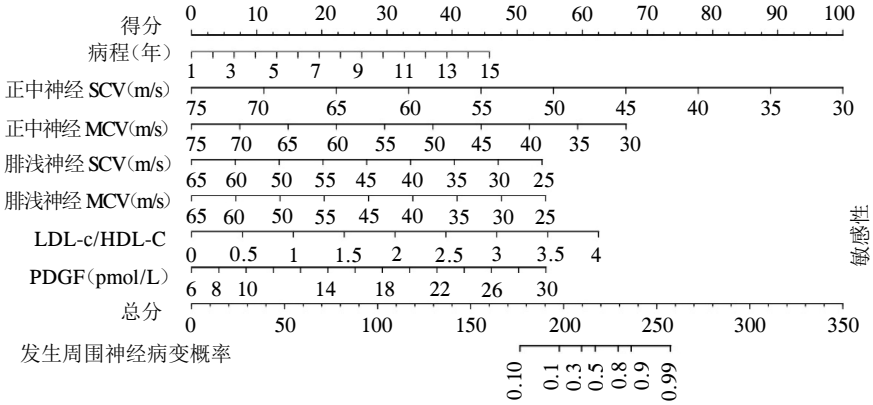
郑双，毛承丽.基于肌电图神经传导参数联合血清生化指标的 T2DM 周围神经病变预测模型的构建（见正文第 244 页）



注：SCV 为感觉神经传导速度，MCV 为运动神经传导速度，LDL-c/HDL-C 为低密度脂蛋白胆固醇/高密度脂蛋白胆固醇比值，PDGF 为血小板源性生长因子

图 1　2 型糖尿病患者周围神经病变的风险列线图模型

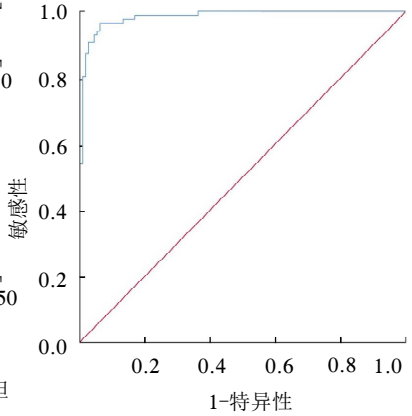


图 2　风险列线图模型的 ROC 曲线

张幼芬，陈睿.2 214 例变应性鼻炎患者变应原检测结果分析（见正文第 267 页）

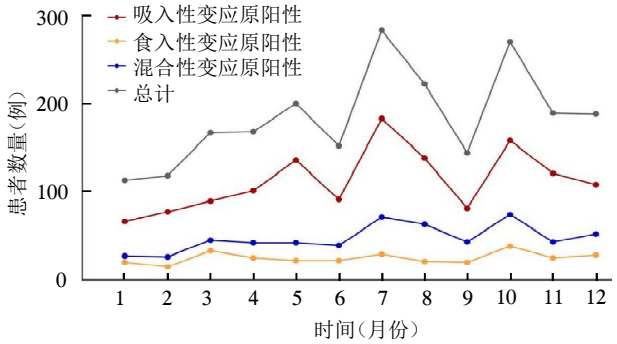


图 3　不同月份变应性鼻炎患者就诊量分布

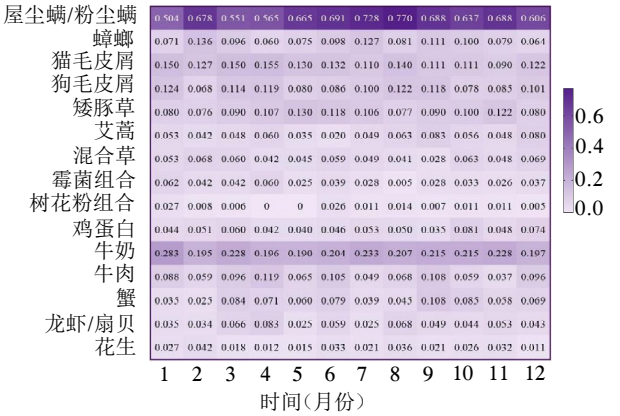
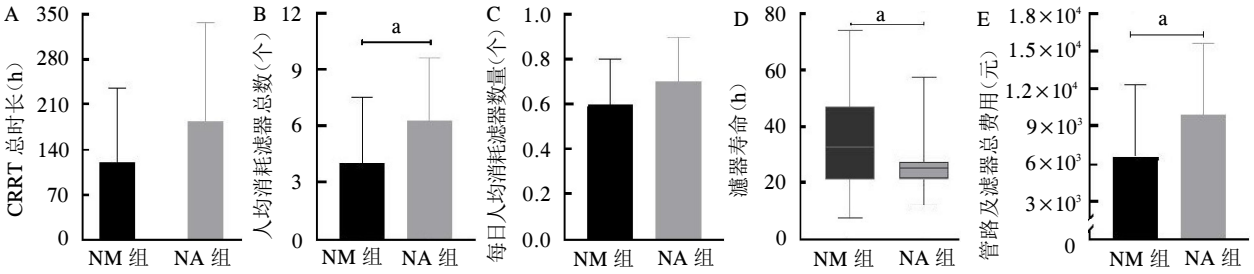


图 4　不同月份变应性鼻炎患者变应原阳性率热图

杭李燕，王金柱，洪满仙，等.甲磺酸萘莫司他在严重肝功能不全合并高危出血风险患者行连续性肾脏替代治疗中的效果分析（见正文第 305 页）



注：NM 为甲磺酸萘莫司他，NA 为无抗凝，CRRT 为连续性肾脏替代治疗。与 NA 组相比，a$P < 0.05$

图 5　两组滤器消耗比较

张宏坤，徐鲁.肌骨超声联合超声弹性成像参数对肩袖撕裂术后再撕裂的预测价值（见正文第 313 页）

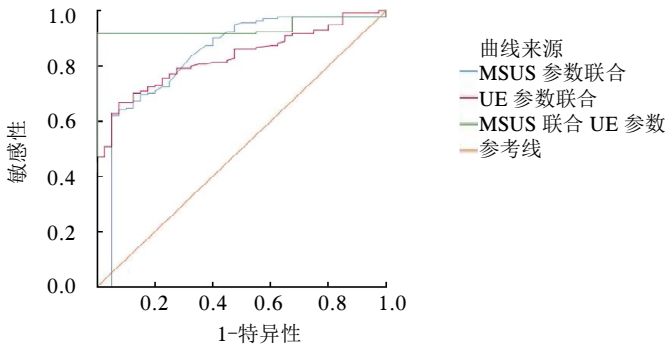


图 6　肌骨超声（MSUS）联合超声弹性成像（UE）参数预测肩袖撕裂术后再撕裂的 ROC 曲线